



## بررسی تجربی و آشکارسازی انتقال حرارت جریان جوشش در لوله عمودی حاوی ماده متخلخل فلزی

مهدی کاشی، امیر رمضانی، محسن نظری\*، محمدمحسن شاهمردان

دانشکده مهندسی مکانیک، دانشگاه صنعتی شاهرود، شاهرود، ایران.

### تاریخچه داوری:

دریافت: ۱۳۹۷/۰۳/۱۱

بازنگری: ۱۳۹۷/۰۸/۰۸

پذیرش: ۱۳۹۷/۰۹/۱۲

ارائه آنلاین: ۱۳۹۷/۰۹/۲۹

### کلمات کلیدی:

انتقال حرارت دوفازی

جریان جوشش

فوم فلزی

جریان عمودی

آشکارسازی

**خلاصه:** در مطالعه حاضر به بررسی تجربی انتقال حرارت جوشش در یک لوله عمودی مسی با قطر داخلی ۱۶ میلی‌متر تحت شرایط شار حرارتی ثابت و در فشار اتمسفریک با سیال کاری آب پرداخته شده است. تمامی آزمایش‌های دوفازی در محدوده رژیم جریان اسلامی بوده و توسط یک لوله شیشه‌ای که در انتهای بستر آزمایشگاهی قرار داده شده است، با توجه پرسرعت آشکارسازی گردید. مؤلفه‌های انتقال حرارت نظیر عدد ناسلت و ضریب انتقال حرارت جابه‌جای در دیهای جرمی و شارهای حرارتی متفاوت اندازه‌گیری گردید و نتایج آزمایش‌ها با روابط تجربی موجود برای حالت دوفازی مقایسه و میزان انحراف نتایج از روابط پیشنهادی گزارش شد.

همچنین تاثیر ماده متخلخل، شار حرارتی و شار جرمی بر مؤلفه‌های انتقال حرارت بررسی گردید. درنهایت مشخص شد در کیفیت‌های پاپین، برای لوله حاوی فوم فلزی با افزایش شار حرارتی و جرمی، بهبود ضریب انتقال حرارت نسبت به لوله خالی اندکی کاهش می‌یابد، اما با این حال میزان بهبود همواره در بازه  $1/8$  تا  $1/5$  قرار دارد که نشان‌دهنده بهبود انتقال حرارت در مبدل با فوم فلزی نسبت به مبدل ساده است. همچنین مشخص شد با وجود استفاده از فوم فلزی الگوی جریان همچنان اسلامی باقی می‌ماند.

### ۱- مقدمه

یک روش امیدبخش به منظور افزایش سازوکار<sup>۱</sup> انتقال حرارت که در مطالعه‌های اخیر مورد توجه قرار گرفته است، استفاده از فوم‌های فلزی با تخلخل بالاست که دارای نسبت سطح به حجم بالایی بوده و منجر به مساحت انتقال حرارت بالا در یک حجم کوچک می‌شود و درنتیجه طراحی و تولید مبدل‌های حرارتی متراکم و همچنین بهبود ضریب انتقال حرارت امکان‌پذیر خواهد بود [۱].

به عنوان توصیف و بیان اهمیتی از فوم‌های فلزی می‌توان گفت، فوم‌های فلزی موادی با تخلخل بالا هستند که عمدتاً شامل توزیع تصادفی و بهم‌پیوسته حفره‌ها می‌باشند که سلول نام دارد. شکل و فرم هر سلول یک چندوجهی نزدیک به کروی بوده و هر وجه سلول دارای مسیری باز به سلول‌های مجاور در همه جهت‌ها است. به علاوه اسکلت‌بندی – یا اجزای تشکیل‌دهنده سلول و حفره – در فوم‌ها، شامل ستون (رباط یا الیاف) و گره محل اتصال ستون‌ها است و یک اثر ترکیبی دارند که برای محیط متخلخل

افزایش انتقال حرارت همواره یکی از موضوع‌های مورد علاقه مهندسان بوده است و موضوع جریان دوفازی جوشش در کanal‌های افقی و عمودی به منظور طراحی و کاربرد مبدل‌های حرارتی اعم از طراحی دیگ‌های بخار، وسایل تبرید، راکتورهای هسته‌ای و مؤلفه‌های الکترونیکی از اهمیت ویژه‌ای برخوردار است. به طور کلی جریان جوشش عبارت است از جریان مایع در کanal به همراه تغییر فاز و با توجه به تفاوت زیاد جرم حجمی فازهای مایع و بخار، تبخیر شدن جرم کوچکی از مایع، تأثیر زیادی بر کسر حجمی بخار خواهد داشت و از همان آغاز فرایند جوشش، چگونگی قرار گرفتن فاز بخار در میان فاز مایع، نقش مهمی در نرخ انتقال حرارت ایفا می‌کند. از این‌رو، شناخت رژیم‌های جریان دوفازی و الگوی قرارگیری فاز بخار-مایع و چگونگی تغییر آن در فرایند جوشش اهمیت دارد. به همین دلیل در جریان جوشش مؤلفه‌های هیدرودینامیکی و انتقال حرارت ارتباط نزدیکی با یکدیگر دارند. انتقال حرارت در جریان جوششی می‌تواند موجب تغییر در توزیع فازها



قرار داشتند، مقایسه شد. آن‌ها بهبود قابل توجه انتقال حرارت در مبدل حاوی فوم را در مقایسه با مبدل‌های دارای پره گزارش دادند.

نظری و همکاران [۱۱]، انتقال حرارت اجباری درون یک لوله آلومینیومی پرشده با فوم فلزی را به صورت تجربی بررسی کردند. سیال کاری آن‌ها نانوسیال آب/ $\text{Al}_2\text{O}_3$  بود که در شرایط دمای ثابت دیواره از داخل یک لوله آلومینیومی پرشده با فوم فلزی آلومینیومی عبور می‌کرد. فوم آلومینیومی به روش ریخته‌گری درون لوله پرشده با نگهدارنده فضای ایجاد شده بود. آزمایش آن‌ها افزایش قابل توجهی در نرخ انتقال حرارت جابجایی در لوله پرشده با فوم فلزی را در مقایسه با لوله خالی نشان داد. حداکثر افزایش در عدد ناسلت برای رینولدز ۳۷۰<sup>۴</sup> و نانوسیال یک و نیم درصد  $\text{Al}_2\text{O}_3$  گزارش شد، که این مقدار برابر با ۵۷ درصد بود. در پژوهشی دیگر، نظری و همکاران [۱۲]، به صورت تجربی انتقال حرارت گذرا از سیال نگهداری شده درون یک مخزن بسته با روش‌های خنک‌کاری مختلف را بررسی کردند. در این آزمایش برای خنک‌کاری از سه لوله پرشده با فوم فلزی، لوله مارپیچ و لوله مستقیم استفاده گردید و نتایج آزمایش نشان‌دهنده بهبود ۴۵ درصدی لوله پرشده با فوم فلزی در مقایسه با لوله مستقیم بود. نظری و همکاران [۱۳]، بهبود انتقال حرارت در کانالی که تا اندازه‌ای توسط بلوک‌های متخلخل پرشده بود را با روش لیسیس بولتزمن<sup>۱</sup> بررسی کردند. نتایج این مطالعه نشان داد که انتقال حرارت جابجایی به سیال به صورت قابل توجهی با افزایش نرخ انسداد<sup>۱۰</sup> بهخصوص در متخلخل‌های پایین، افزایش پیدا می‌کند. بدین معنی که بلوکی با متخلخل بالا تأثیر کمتری بر افزایش عدد ناسلت متوسط می‌گذارد.

مانسین<sup>۱۱</sup> و همکاران [۱۴]، آزمایشی بر روی انتقال حرارت جابجایی در فوم‌های فلزی با چگالی‌های حفره متفاوت در محدوده ۵ تا ۴۰ حفره در اینچ (تراکم منفذ) انجام دادند. آن‌ها افت فشار و ضریب انتقال حرارت برای شار حرارتی ۲۵ و ۴۰ کیلووات بر مترمربع را مطالعه کردند و تطابق خوبی برای داده‌های آزمایش با روابط پیشنهادی گزارش شد. آن‌ها بعد از این آزمایش، مطالعه مشابهی برای فوم‌های فلزی مسی انجام دادند [۱۵].

## ۱- محیط متخلخل دوفازی

یک جنبه قابل توجه از عملکرد انتقال حرارت دوفازی، جوشش و تغییر فاز در کانال‌های حاوی فوم فلزی است. در مطالعه‌های اخیر، تغییر الگوی جریان، ضریب انتقال حرارت و میدان فشار در لوله‌های حاوی فوم فلزی در

باعث ایجاد سطح مشترک بسیار بالایی در یک حجم نمونه می‌شود. تی جون<sup>۱</sup> و همکاران [۲] گزارش دادند، سطح ویژه در فوم‌های فلزی سلول‌باز، حدود ۵۰۰ تا ۱۰۰۰۰ مترمربع بر مترمکعب است. با توجه به خواص منحصر به فرد فوم‌های فلزی نظیر استحکام بالا، جذب ضریب بالا، میرا کنندگی عالی سروصداء، وزن کم و غیره، این مواد فرستاده‌ای جدیدی را در صنایع نوظهور ارائه می‌کنند [۳]. با این وجود یکی از متمایزترین کاربردهایی که در تمام فوم‌های فلزی وجود دارد، کاربردهای تبادل حرارتی است؛ بنابراین تعجب‌آور نیست که در دهه اخیر مطالعه‌های کاربردی فراوانی درباره فوم‌های فلزی روی بسیاری از مبدل‌های حرارتی انجام شده باشد [۱ و ۴-۷].

## ۱-۱- محیط متخلخل تک‌فازی

لو<sup>۸</sup> و همکاران [۸]، با مطالعه درباره جابجایی اجباری حول یک مبدل پرشده از فوم‌های فلزی با متخلخل بالا و عبور هوا و آب به عنوان سیال خنک‌کننده به بررسی جریان تک‌فازی پرداختند و از مدل مومنتوم بریکمان<sup>۹</sup>-دارسی<sup>۱۰</sup> توسعه یافته و همچنین مدل انتقال حرارت دو مطالعه‌ای بر پایه کار کلامیدی<sup>۱۱</sup> و ماهاجان<sup>۱۲</sup> برای محیط متخلخل بهمنظور دستیابی به توزیع سرعت و دما در میدان جریان استفاده کردند. آن‌ها نتیجه گرفتند که افت فشار تابعی از نفوذپذیری بوده و به صورت نمایی با تراکم منفذ فوم تغییر می‌کند. همچنین نتیجه گرفتند انتقال حرارت به چهار پارامتر بی‌بعد وابسته است: نسبت شعاع لوله به اندازه حفره فوم (پارامتر هندسی)، متخلخل، رینولدز<sup>۱۳</sup> و نسبت هدایت حرارتی سیال-جامد. آن‌ها افزایش قابل توجه ۴۰ برابری انتقال حرارت در مبدل با فوم را در مقایسه با مبدل ساده گزارش کردند.

ژائو<sup>۱۴</sup> و همکاران [۱۰]، محققانی از گروه لو و همکاران [۸]، مطالعه درباره ساختار مبدل‌ها را با دو لوله متحدم‌المرکز توسعه دادند. آن‌ها یک لایه فوم روی سطح خارجی لوله داخلی قرار داده و سپس روی لوله خارجی را با عایق پوشانندند. سیال داغ در داخل لوله داخلی و سیال خنک در ناحیه حلقی و در خلاف جهت هم جریان داشتند و این در حالی بود که سطح خارجی مبدل به صورت کاملاً عایق فرض شده بود و هیچ تبادل حرارتی با محیط اطراف نداشت. همچنین نتایج به دست آمده با دو مبدل متحدم‌المرکز: مبدلی با پره‌های شعاعی، و مبدلی با پره‌های مارپیچ که روی سطح خارجی لوله داخلی

۱ T'Joen

۲ Lu

۳ Brinkman

۴ Darcy

۵ Calmidi

۶ Mahajan

۷ Reynolds

۸ Zhao

۹ Casting Around Space Holder Materials Method

۱۰ Lattice Boltzmann Method

۱۱ Blockage Ratio

۱۲ Mancin

دو متغیر وابسته در این آزمایش بودند. نتایج نشان داد که در کیفیت‌های پایین به کار بردن فوم فلزی باعث افزایش ضریب انتقال حرارت در حدود ۲ تا ۴ برابر می‌شود. در تحقیقی دیگر، بامروت آبادی و همکاران [۲۳] به آشکارسازی جریان جوشش و انتقال حرارت درون لوله‌های کوچک پرداخته از فوم فلزی پرداختند. الگوهای جریان، ضریب انتقال حرارت و افت فشار برای کیفیت بخار متوسط ۱/۰ تا ۰/۷ و شار حرارتی ۲۰ تا ۴۰ کیلووات بر مترمربع و شار جرمی ۴۰۰ تا ۷۰۰ کیلوگرم بر مترمربع ثانیه را بررسی کردند. به منظور مقایسه، این آزمایش‌ها برای لوله بدون فوم نیز انجام شد و نتایج نشان داد که وجود فوم باعث افزایش ضریب انتقال حرارت در حدود ۲ تا ۳ برابر می‌شود. همچنین در این آزمایش افت فشار نیز بررسی شد. از آنجایی که بررسی عملکرد حرارتی لوله‌های حاوی فوم فلزی در جریان جوششی در ابتدای راه بوده و اکثر مطالعه‌ها بر روی مبدل‌های افقی (بدون تخلخل) انجام گرفته است؛ همچنین با توجه به اینکه در جریان جوشش، مطالعه تأثیر فوم فلزی بر روی عملکرد حرارتی لوله‌های عمودی و همچنین الگوی جریان درون آن، به صورت دقیق و کافی انجام نشده است و این مطلب، عدم وجود داده‌های آزمایشگاهی کافی را به دنبال داشته و باعث محدودیت در اعتبار روابط پیشنهادی و نبود حل عددی جامع - به خصوص برای سیال آب-می‌شود [۲۴]. به همین دلیل تمرکز اصلی این مطالعه، بررسی دقیق محدوده جریان اسلامگ و تأثیر فوم فلزی در جریان جوششی درون لوله عمودی و درنهایت آشکارسازی الگوی جریان است. در این آزمایش از یک نمونه فوم فلزی از جنس مس و آب مقطر به عنوان سیال کاری استفاده شده است. در این تحقیق به صورت تجربی اثر استفاده از فوم فلزی در مقایسه با لوله خالی - تحت شار جرمی و شار حرارتی متفاوت- بر فیزیک جریان دوفازی اشیاع و عملکرد انتقال حرارت جوشش درون لوله عمودی بررسی گردید. همچنین به دلیل اهمیت نحوه و محل قرارگیری فاز بخار در میان فاز مایع برای فرآیند انتقال حرارت، در این آزمایش از یک لوله شیشه‌ای در انتهای مبدل به منظور عکس‌برداری استفاده شده و الگوی جریان جوشش در لوله خالی و همچنین در حضور فوم فلزی آشکارسازی شده است.

## ۲- بستر آزمایشگاهی

در این آزمایش از بستر آزمایشگاهی با مدارباز استفاده گردیده است. شکل شماتیک بستر آزمایشگاهی در شکل ۱ نشان داده شده است. برای

مقایسه با لوله ساده در جریان دوفازی مورد توجه واقع شده است. دیانی<sup>۱</sup> و همکاران [۱۶] و مانسین و همکاران [۱۷]، به بررسی تغییر فاز سیال‌های R۱۳۴a، R۱۲۳۴ze(E)، R۱۲۳۴yf در یک کانال حاوی فوم فلزی با تراکم منفذ ۵ پرداختند. انتقال حرارت در این آزمایش که با شرایط شار جرمی پایین، شار حرارتی پایین و کیفیت بخار بالا، در حدود ۴/۸ برابر بهبود یافت. همچنین در همه بخش‌ها افت فشار با کیفیت بخار یا شار جرمی افزایش پیدا کرد.

ژو<sup>۲</sup> و همکاران [۱۸]، آزمایشی درباره جوشش هسته‌ای استخراج روی مخلوط مبرد R۱۱۳ و روغن VG6۸ انجام دادند. آن‌ها از فوم مسی با تخلخل ۹۸ درصد و تراکم منفذ ۵ و ۱۰ استفاده کردند. نتایج نشان داد فوم‌های فلزی در مقایسه با صفحه صاف و بدون فوم، ضریب انتقال حرارت را تا ۱۶۰ درصد افزایش می‌دهند. همچنین با اضافه شدن روغن، ضریب انتقال حرارت تا ۱۵ درصد کاهش یافت. در پژوهشی دیگر ژو و همکاران [۱۹ و ۲۰]، جریان جوششی مبرد R۴۱۰A در لوله شیشه‌ای با قطر ۷/۹ میلی‌متر را آشکارسازی کردند و یک الگوی جریانی بر پایه داده‌های آزمایش را معرفی نمودند. در این آزمایش بهبود ضریب انتقال حرارت در شار جرمی پایین در حدود ۵۰ درصد بزرگ‌تر از شار جرمی بالا بود. همچنین جریان‌های اسلامگ، پلاگ<sup>۳</sup> و حلقوی در این آزمایش آشکارسازی شد.

ژائو و همکاران [۲۱] به بررسی جریان دوفازی و انتقال حرارت جوششی در لوله حاوی فوم‌های فلزی در حالت افقی پرداختند، نتایج نشان داد زمانی که اندازه سلول‌ها در یک تخلخل معین از تراکم منفذ ۲۰ به ۴۰ کاهش می‌یابد به دلیل اینکه سطح تماسی بیشتر شده و اختلاط قوی تری از جریان در حفره‌های کوچک صورت می‌پذیرد، انتقال حرارت در حدود ۲ برابر خواهد شد.

مدنی و همکاران [۲۲]، انتقال حرارت جریان جوشش در یک کانال پر شده از فوم فلزی که به دیواره جانبی لحیم کاری<sup>۴</sup> شده بود را بررسی کردند. نمونه فوم‌های استفاده شده در آزمایش از جنس مس با تراکم منفذ ۳۶ و تخلخل ۹۷ درصد انتخاب شده بود و سیال کاری نیز ان‌پتان<sup>۵</sup> در نظر گرفته شد. در این آزمایش متغیرهای مستقل، دبی جرمی در محدوده ۱۰ تا ۱۰۰ کیلوگرم بر مترمربع ثانیه و شار حرارتی بین ۰ تا ۲۵ وات بر سانتی‌مترمربع بود. دما (برای دیوار گرم شده و داخل کانال) و کیفیت خروجی نیز به عنوان

۱ Diani

۲ Zhu

۳ Plug

۴ Braze

۵ n-Pentane

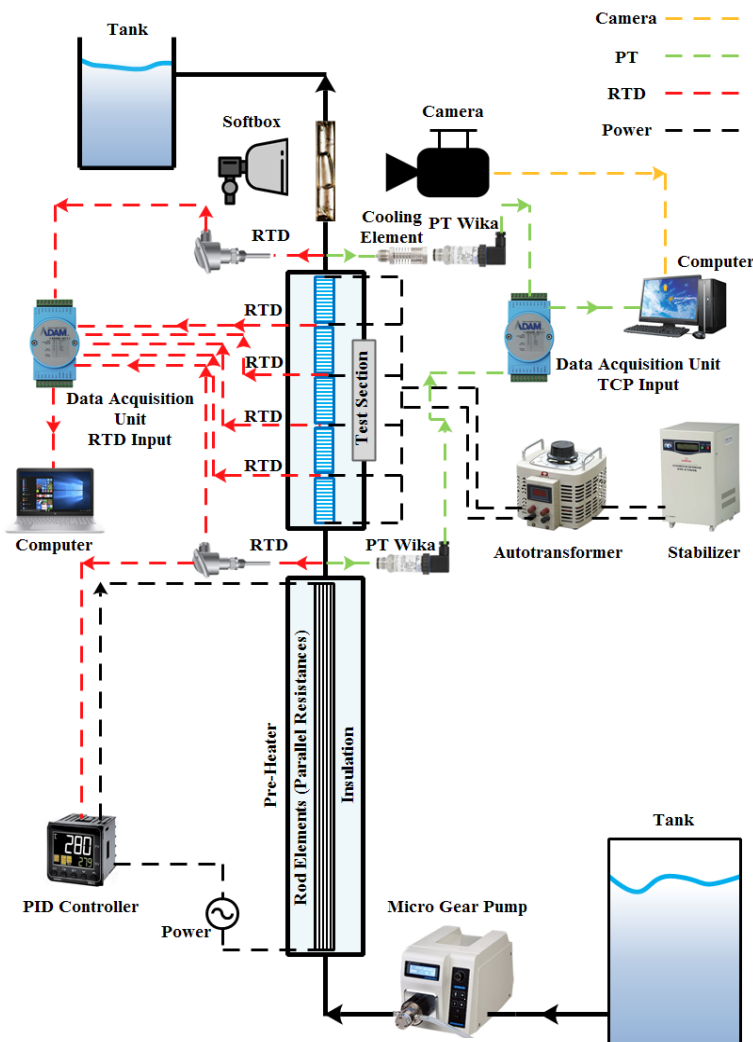


Fig. 1. Diagram of experimental setup

شکل ۱: طرح وارهی بستر آزمایشگاهی

بخش آزمون و با طول  $1/30$  متر ساخته شده که این طول برای رسیدن جریان به حالت توسعه یافتنگی هیدرودینامیکی کافی است. به منظور ثابت نگهداشتن دمای سیال ورودی به قسمت آزمایش و همچنین جلوگیری از تغییر دما برای تکرار آزمایش‌ها - در قسمت ورودی به بخش آزمون - از یک عدد واپايش‌گر دمای سه-زمانه<sup>۴</sup> با مدل امرن<sup>۵</sup> استفاده شده است. دمای سیال ورودی توسط اتصال حس‌گر دمای ورودی به این واپايش‌گر روی  $70$  درجه سانتی‌گراد ثابت نگهداشته شد. در قسمت ورودی و خروجی جریان آب به بخش آزمون از دو عدد حس‌گر پی‌تی<sup>۶</sup> به منظور اندازه‌گیری دمای سیال استفاده شده است.

کنترل شار حرارتی اعمال شده از یک عدد تنظیم‌کننده ولتاژ<sup>۱</sup> با توانایی کنترل ولتاژ به صورت دستی از  $0$  تا  $300$  ولت، به همراه یک عدد ثبت‌کننده<sup>۲</sup> برای ثابت نگهداشتن ولتاژ ورودی به تنظیم‌کننده ولتاژ استفاده شده است. جریان خروجی کاملاً سینوسی تنظیم‌کننده ولتاژ، توان مؤثر پایداری ایجاد می‌نماید لذا برای محاسبه توان حرارتی اعمالی می‌توان به توان مؤثر آن اطمینان نمود.

برای رساندن دمای آب به حد مطلوب و همچنین توسعه یافتنگی هیدرودینامیکی جریان آب قبل از ورود به بخش آزمون از پیش‌گرمکن استفاده شده است، قسمت پیش‌گرمکن نیز با استفاده از لوله‌ای مشابه با

<sup>3</sup> PID Controller

<sup>4</sup> Omron

<sup>5</sup> Pt100 Sensor

<sup>1</sup> Voltage Regulator

<sup>2</sup> Stabilizer

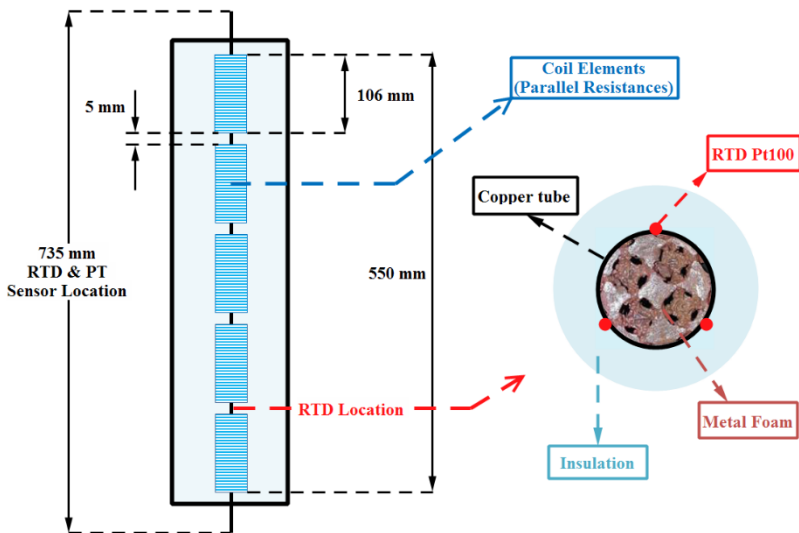


Fig. 2. Test section

## شکل ۲: بخش آزمون

همچنین از یک عدد پمپ چرخ دنده-کوچک<sup>۵</sup> از برند لانگرپمپ<sup>۶</sup> مدل ۱FB-WT۳۰۰۰ با سرعت ۳۰۰ تا ۳۰۰۰ دور بر دقیقه که توانایی پمپاژ سیال با دبی ۱۷۱۴ تا ۱۷۱۴ میلی لیتر بر دقیقه را دارا است، به جهت حصول اطمینان از دبی یکنواخت و دقیق در طول انجام آزمایش، استفاده شده است.

## ۲- بخش آزمون

ابعاد بخش آزمون و موقعیت حسگرهای در شکل ۲ نمایش داده شده است. بخش آزمون از یک لوله مسی با طول ۵۵ سانتی‌متر و قطر داخلی ۱۶ و قطر خارجی ۱۹ میلی‌متر ساخته شده است. برای ایجاد شار حرارتی یکنواخت و ثابت در طول لوله مسی بخش آزمون از پنج عدد المنت فنری<sup>۷</sup> با توان فردی ۸۰۰ وات استفاده شده است که با موازی بستن آن‌ها توان نهایی حدود ۴۰۰۰ وات خواهد شد.

به منظور جلوگیری از اتلاف توان حرارتی المنت‌ها و افزایش راندمان حرارتی بخش آزمون، از عایق حرارتی پشم سنگ لوله‌ای با ضخامت و قطر داخلی ۵ سانتی‌متر بر روی المنت‌ها استفاده گردید. فاصله بین المنت‌ها و عایق نیز با پشم سنگ لحافی تا حد امکان پر شد تا حداکثر راندمان حرارتی حاصل شود و از اتلاف حرارت جلوگیری شود. برای اندازه‌گیری دمای سطح

حسگر دمای ورودی از نوع دوبل بوده که قابلیت اتصال همزمان به دستگاه ثبت داده<sup>۱</sup> و واپايش گر را دارد.

به منظور اندازه‌گیری فشار سیال در هنگام ورود و خروج از قسمت آزمایش از دو عدد فرستنده<sup>۲</sup> فشار ویکا از سری a10 با رنج کاری ۰ تا ۱۰ بار استفاده گردید. با توجه به رنج محدودیت دمایی حسگرهای فشار (۰ تا ۸۰ درجه سانتی‌گراد) در قسمت خروجی بخش آزمون به دلیل بالا بودن دمای آب (۹۴ درجه سانتی‌گراد) از یک عدد عنصر خنک‌کننده ویکا با مدل ۹۱۰/۲۴ برای کاهش دمای سیال ورودی به فرستنده فشار استفاده گردید؛ که دارای ۵ پره جهت خنک‌سازی سیال ورودی به حسگر بوده و با استفاده از این قطعه می‌توان دمای سیال ورودی به فرستنده فشار را تا ۲۰۰ درجه سانتی‌گراد بالا برد.

به منظور ثبت داده‌های دمایی حسگرهای پی‌تی ۱۰۰ از دو عدد دستگاه ثبت داده آدام<sup>۳</sup> ۶۰۱۵ استفاده گردید که هر کدام دارای ۷ کانال ایزوله سه‌سیم می‌باشند. داده‌ها توسط این دستگاه‌های ثبت داده روی کامپیوتر ذخیره گردید. برای ثبت داده‌های دریافتی از حسگرهای فشار از یک عدد دستگاه ثبت داده آدام ۴۰۱۸+ استفاده شد.

1 Data Acquisition Unit

2 Transmitter

3 Cooling Element

4 Adam

5 Micro-Gear Pump

6 LongerPump

7 Coil Heater

**جدول ۱: مشخصه‌های هندسی فوم فلزی****Table 1. Geometrical properties of the metal foam**

جنس فوم فلزی	قطر	تخلخل	تراکم منفذ	روش نصب
مس	۱۶ (میلی‌متر)	۸۵ درصد	۵ (حفره در اینچ)	جایگذاری فشاری

دارای دقت  $1/0\pm$  درجه سانتی‌گراد و دقت در عملکرد دستگاه ثبت داده دما  $1/1\pm$  درصد کل بازه اندازه‌گیری بوده، همچنین در حس‌گرهای فشار نیز حالت غیرخطی  $0/05\pm$  بار و دقت کلی  $1/0\pm$  بار است؛ دقت در عملکرد دستگاه ثبت داده فشار نیز در حالت ورودی جریانی،  $1/0\pm$  درصد کل بازه اندازه‌گیری است. همچنین روش آماری مورد استفاده در این مطالعه به این منظور که بتوان حدود اطمینان را در اطراف یک داده مشخص نمایش داد، روش فاصله اطمینان است. به همین منظور در این مطالعه تمام آزمایش‌ها اعم از آزمایش‌های تک‌فازی (بهمنظور صحت سنجی بستر آزمایشگاهی) و آزمایش‌های دوفازی سه مرتبه تکرار گردیده و یک فاصله اطمینان ۹۵ درصدی در این آزمایش مدنظر قرار گرفته است:

$$\alpha = \bar{x} \pm \left[ 4.303 \times \frac{\theta}{\sqrt{m}} \right] \quad (1)$$

در معادله فوق  $\bar{x}$  مقدار متوسط،  $\theta$  انحراف معیار،  $m$  تعداد تکرار و مقدار  $t$ -Table  $4/30/3$  ضریب تعیین است که با استفاده از جدول ضرایب تعیین در مبحث روش‌های آماری به دست می‌آید. همچنین در جدول شماره ۲ عدم قطعیت برای ضریب انتقال حرارت در این آزمایش بر اساس روش پیشنهادی موقات آورده شده است [۲۷].

**جدول ۲: عدم قطعیت آزمایش****Table 2. Experimental uncertainties**

عدم قطعیت	مؤلفه
$\pm 0/25\%$ .	شار جرمی ( $\text{kg}/\text{m}^2\cdot\text{s}$ )
$\pm 0/4$	اختلاف دما (K)
$\pm 6/2\%$ .	فشار (kPa)
$\pm 3/4\%$ .	شار حرارتی ( $\text{W}/\text{m}^2$ )
$\pm 3/9\%$ .	ضریب انتقال حرارت ( $\text{W}/\text{m}^2\cdot\text{K}$ )

لوله در بخش آزمایش از ۱۲ عدد حس‌گر دمای پی‌تی ۱۰۰ صفحه-نازک<sup>۱</sup> سه‌سیم با رنج اندازه‌گیری ۲۰۰-تا ۲۰۰ درجه سانتی‌گراد استفاده شده است. دما در چهار مقطع و در هر مقطع توسط ۳ حس‌گر پی‌تی ۱۰۰ که با زاویه ۱۲۰ درجه نسبت به هم قرار گرفته‌اند، اندازه‌گیری می‌شود. به‌منظور اتصال حس‌گرهای به سطح لوله از خمیر سیلیکون<sup>۲</sup> به‌منظور رسانایی حرارتی مطلوب و چسب مناسب برای ثابت کردن حس‌گرهای استفاده شده است که توانایی تحمل دما تا ۲۵۰ درجه سانتی‌گراد را دارد. در این آزمایش برای بررسی تأثیر ماده متخلفل بر بهبود انتقال حرارت جایگایی از یک نمونه فوم مسی با تخلخل ۸۵ درصد منظم و تراکم منفذ ۵ و از نوع سلول-باز استفاده گردید که مشخصه‌های فوم مسی در جدول ۱ آمده است؛ این فوم‌ها به روش فشاری<sup>۳</sup> درون لوله مسی جایگذاری گردیدند [۲۵ و ۲۶].

در قسمت انتهایی بخش آزمون به‌منظور آشکارسازی الگوی جریان از یک لوله شیشه‌ای با قطر مشابه با لوله اصلی و با طول ۳۰ سانتی‌متر استفاده گردید. برای آشکارسازی الگوی جریان از جریان سیال داخل لوله شیشه‌ای توسط دوربین کانن<sup>۴</sup> ۷۰D DSLR EOS و عدسی<sup>۵</sup> ۱۸ EF-S mm-۱۳۵ IS STM فیلمبرداری گردید و سپس با استخراج پیرابندهای<sup>۶</sup> فیلم و پردازش تصاویر، الگوی جریان نشان داده شد.

**۲- آنالیز عدم قطعیت**

دقت در اندازه‌گیری قطر لوله مسی و لوله شیشه‌ای در حدود  $\pm 0/02$  میلی‌متر و برای اندازه‌گیری طول نمونه در حدود  $0/5\pm$  میلی‌متر تخمین زده می‌شود. مولتی‌متر با دقت  $1/0\pm$  مقدار نمایشگر، تشییت‌کننده دارای دقت  $1\pm$  درصد ولتاژ تنظیم‌شده خروجی، تنظیم‌کننده ولتاژ دارای دقت  $1\pm$  ولت و همچنین دقت سرعت پمپ  $1\pm$  درصد کل محدوده سرعت و دقت دبی پمپ  $1/0\pm$  میلی‌لیتر بر دقیقه است. حس‌گرهای دمای پی‌تی ۱۰۰

- 1 Thin-Filmed RTD
- 2 Silicone Paste
- 3 Press-Fit Method
- 4 Canon
- 5 Lenz
- 6 Frames

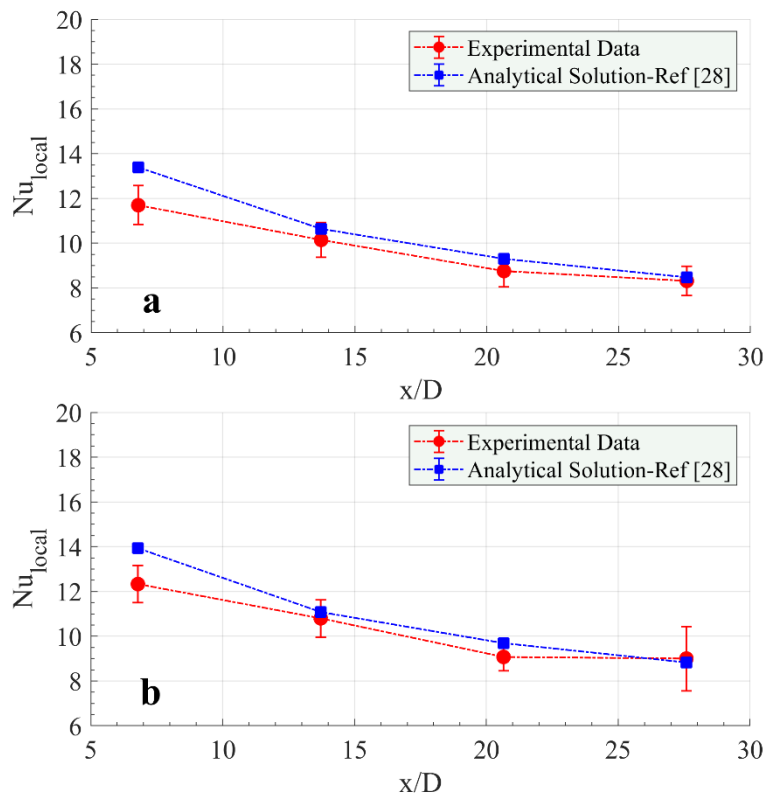


Fig. 3. Axial profile of Nusselt number (setup validation), a)  $Re=626$ , b)  $Re=781$

شکل ۳: تغییر عدد ناسلت محلی در طول بخش آزمون، a: رینولدز ۶۲۶، b: رینولدز ۷۸۱

$$Nu = \frac{h_z}{k} \quad (4)$$

نتایج آزمایش با رابطه تحلیلی (۵) به دست آمده از روش جداسازی متغیرها<sup>۱</sup> و نظریه اشتورم-لیوویل<sup>۲</sup> برای جریان آرام مقایسه شد [۲۸]. که مؤلفه  $\delta$  به صورت:

$$Nu_z = \frac{h_z}{k} = \left[ \frac{11}{48} + \frac{1}{2} \sum_{n=1}^{\infty} \frac{\exp(-2\beta_n^2 \delta)}{A_n \beta_n^4} \right]^{-1} \quad (5)$$

در رابطه (۵) مقادیر مربوط به مؤلفه های  $A_n$  و  $\beta_n$  در جدول ۳ آمده است و زمانی که توسعه یافتنگی حرارتی برقرار بشود و یا به عبارتی  $\delta$  به بینهایت میل می کند، برای عدد ناسلت داریم:

### ۳- صحبت سنجی بستر آزمایشگاهی

به دلیل اینکه شار حرارتی بر پایه توان الکتریکی المنتها محاسبه می شود، به منظور بررسی افت حرارتی و همچنین صحبت عملکرد حسگرهای اندازه گیری ضریب انتقال حرارت و موازنۀ انرژی در حالت تک فاز ضروری است. یک موازنۀ انرژی مابین توان ورودی المنتها و توان دریافت شده توسط سیال که منجر به تغییر آنتالپی سیال می شود، بر اساس روابط (۲) و (۳) انجام گرفت:

$$Q = \dot{m} c_p (T_{out} - T_{in}) \quad (2)$$

$$Q_E = \frac{V^2}{R} \quad (3)$$

موازنۀ انرژی نشان داد که افت حرارتی در حدود ۱۱ درصد است. همچنین به منظور صحبت سنجی بخش آزمون نیز ضریب انتقال حرارت محلی در حالت تک فاز در ناحیه ورودی حرارتی (عدم توسعه یافتنگی حرارتی) و ناحیه آرام بررسی و عدد ناسلت تجربی از رابطه (۴) محاسبه شد:

1 Variable Separation Method

2 Sturm-Liouville Theory

### جدول ۳: عدم قطعیت آزمایش

Table 3. Experimental uncertainties

$$T_{w,i} = T_{w,o} - \frac{q_E D_i}{4k} \left[ \frac{(\eta)^2 - 2\ln(\eta) - 1}{1 - (\eta)^2} \right] \quad (10)$$

و مؤلفه  $\eta$  به صورت:

$$\eta = \frac{D_i}{D_o} \quad (11)$$

همچنین برای محاسبه کیفیت از رابطه (12) استفاده شده است:

$$x = \frac{1}{i_{hv}} \left[ \frac{Q_E}{\dot{m}} - c_p (T_{sat} - T_{in}) \right] \quad (12)$$

در رابطه (12) گرمای نهان تبخیر بر اساس دما و فشار در خروجی بخش آزمون در نظر گرفته شده است. همچنین در این آزمایش از یک فوم فلزی از جنس مس استفاده شد و نتایج با لوله بدون فوم مقایسه و آشکارسازی گردید. به همین منظور از مؤلفه IF به منظور بیان ضریب بهبود عملکرد فوم استفاده شده است. ضریب بهبود عامل مهمی در بحث انتقال حرارت و کاربرد فوم‌های فلزی است، به این دلیل که نشان‌دهنده عملکرد فوم فلزی است.

$$IF = \frac{h_{MF}}{h_{Empty}} \quad (13)$$

ضریب انتقال حرارت برای لوله حاوی فوم فلزی  $h_{MF}$  و  $h_{Empty}$  ضریب انتقال حرارت برای لوله خالی است.

### ۵- صحبت‌سنگی حالت دوفازی

در این آزمایش با توجه به اینکه رژیم جریان اسلامگ<sup>۱</sup> است در هر دبی جرمی، شروع جریان اسلامگ و همچنین پایان آن را در نظر گرفتیم؛ در همین راستا، اشاره به این دو نکته حائز اهمیت است: اولاً درباره شروع جریان اسلامگ، با توجه به ناحیه گذر از یک الگو به الگوی دیگر در جریان دوفازی [۲۹] و معیار معرفی شده توسط تایتل<sup>۲</sup> و همکاران [۳۰] برای مخلوط دوفازی آب و گاز، بر اساس این معیار-چنانچه رابطه فوق ارضاء شود- جریان حبابی ایجاد نمی‌شود:

$A_n$	$\beta_n^2$	شماره
۰/۰۰۰۷۶۳۰	۲۵/۶۸	۱
۰/۰۰۰۲۰۵۳	۸۳/۸۶	۲
۰/۰۰۰۹۰۳	۱۷۴/۲	۳
۰/۰۰۰۴۹۱	۲۹۶/۵	۴
۰/۰۰۰۳۰۷	۴۵۰/۹	۵

$$Nu_\infty = \frac{48}{11} \approx 4.364 \quad (6)$$

با مقایسه معادله تحلیلی و نتایج بدست‌آمده از آزمایش، مقدار خطاب رای ۴ مقطع بررسی و مشخص شد که بیشترین مقدار خطاب مربوط به مقطع ۱ و اعداد ناسلت بالاتر (ابتدا ورود سیال به بخش آزمون) بوده و این مقدار خطاب نسبت به رابطه تحلیلی (5) برابر با  $13/6$  درصد است. همچنین در شکل ۳ مقایسه‌ای بین معادله تحلیلی و عدد ناسلت محلی بدست‌آمده از آزمایش در طول لوله برای رینولدزهای مختلف نشان داده شده است. در جدول شماره ۳ برای مقادیر بالاتر  $n$  از معادله‌های زیر استفاده شده است:

$$\beta_n = 4n + \frac{4}{3} \quad (7)$$

$$A_n = 0.428 \beta_n^{-\frac{7}{3}} \quad (8)$$

### ۴- روابط حاکم در حالت دوفازی

در مباحث مربوط به دوفازی، ضریب انتقال حرارت تجربی از رابطه (9) محاسبه می‌شود:

$$h = \frac{q_E}{T_{w,i} - T_{sat}} \quad (9)$$

که در آن  $T_{sat}$  دمای اشباع در فشار خروجی بخش آزمون فرض شده است و برای  $T_{w,i}$  داریم:

1 Improvement Factor (IF)

2 Slug Flow Regime

3 Taitel

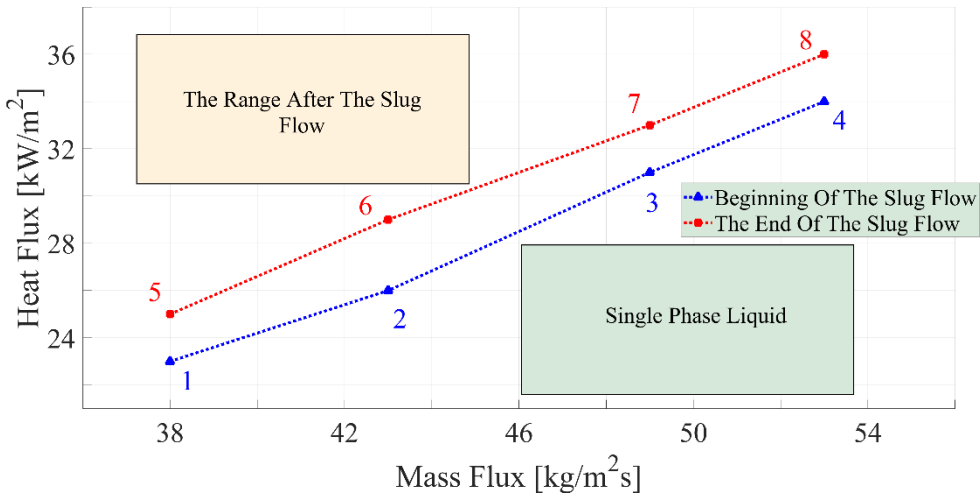


Fig. 4. Slug flow pattern in this experiment

شکل ۴: محدوده جریان اسلامگ در این آزمایش

به عنوان جوشش جابجایی شناخته می‌شود که توسط معادله شناخته شده دیتوس<sup>۳</sup>-بوتر<sup>۳</sup> محاسبه می‌شود [۳۲]:

$$h_{cb} = 0.023 Re_l^{0.8} Pr_l^{0.4} \frac{k_l}{D_i} \quad (16)$$

و جوشش هسته‌ای،  $h_{nb}$  از رابطه فوستر<sup>۵</sup> و زوبر<sup>۶</sup> محاسبه می‌شود [۳۳]:

$$h_{nb} = \frac{0.00122 k_l^{0.79} c_{pl}^{0.45} \rho_l^{0.49} \Delta T_{sat}^{0.24} \Delta P_{sat}^{0.79}}{\sigma^{0.5} \mu_l^{0.29} (\rho_v i_{lv})^{0.24}} \quad (17)$$

و مؤلفه‌های دیگر نیز به صورت زیر محاسبه می‌شوند:

$$Re_l = \frac{GD_i(1-x)}{\mu_l} \quad (18)$$

$$\Delta T_{sat} = T_w - T_{sat} \quad (19)$$

$$\Delta P_{sat} = P_{sat}(T_w - T_{sat}) \quad (20)$$

$$\left[ \frac{\rho_l^2 g D_i^2}{(\rho_l - \rho_v) \sigma} \right]^{1/4} \leq 4.36 \quad (14)$$

در این مطالعه نیز با توجه به ارضای رابطه فوق، ابتدا ناحیه اسلامگ شروع جریان دوفازی در نظر گرفته شده است. ثانیاً با افزایش شار حرارتی در حدود ۲ الی ۳ کیلووات بر مترمربع انتهای جریان اسلامگ شکل می‌گیرد، به طوری که با افزایش شار حرارتی بیش از این مقدار الگوی جریان از حالت اسلامگ خارج می‌شود. با توجه به نکته‌های فوق، محدوده انجام آزمایش در شکل ۴ مشاهده می‌شود که خط آبی بیانگر ابتدا جریان اسلامگ و خط قرمز بیانگر انتهای جریان اسلامگ است.

با توجه به توضیح‌های فوق برای صحیت‌سنجی نتایج در حالت دوفازی به مقایسه ضریب انتقال حرارت تجربی با ضریب انتقال حرارت به دست آمده از روابط پیشنهادی موجود پرداختیم. به همین منظور از رابطه (۱۷) که بیانگر رابطه شناخته شده چن<sup>۱</sup> [۳۱] و همچنین رابطه (۲۶) که بیانگر رابطه پیشنهادی فانگ<sup>۲</sup> و همکاران<sup>۳</sup> [۲۴] است و برای سیال آب ارائه شده، استفاده کردیم؛ بنابر رابطه چن [۳۱] داریم:

$$h_{tp} = F h_{cb} + S h_{nb} \quad (15)$$

3 Dittus

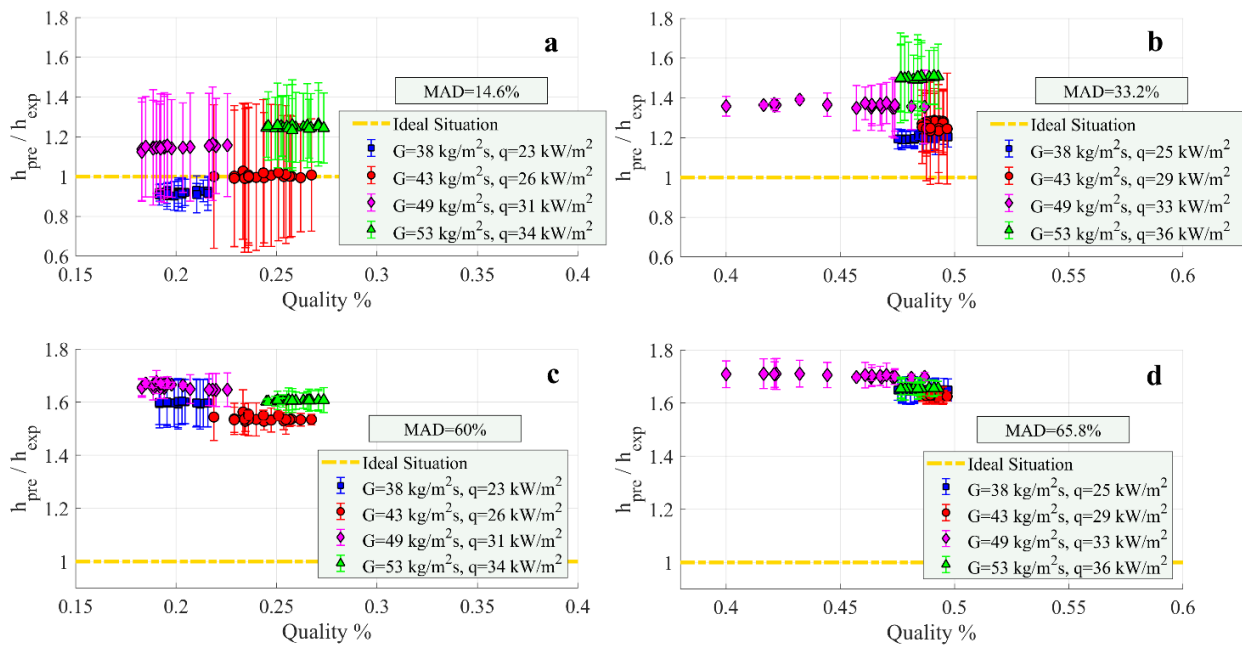
4 Boelter

5 Forster

6 Zuber

1 Chen

2 Fang



**Fig. 5. Comparison of the measured heat transfer coefficient with the prediction correlations, a) Chen correlation [31] at the beginning of the slug flow, b) Chen correlation [31] at the end of the slug flow, c) Fang correlation [24] at the beginning of the slug flow, d) Fang correlation [24] at the end of the slug flow**

شکل ۵: مقایسه بین ضریب انتقال حرارت تجربی با روابط پیشنهادی، الف: رابطه چن [۳۱] در ابتدای جریان اسلامگ، ب: رابطه چن [۳۱] در انتهای جریان اسلامگ  
ج: رابطه فانگ [۲۴] در ابتدای جریان اسلامگ، د: رابطه فانگ [۲۴] در انتهای جریان اسلامگ

در شکل‌های ۵-الف و ۵-ب نسبت ضریب انتقال حرارت پیشنهادی از رابطه چن [۳۱] به ضریب انتقال حرارت تجربی به ترتیب برای ابتدا و انتهای جریان اسلامگ نشان داده شده است.

همچنین معادله فانگ و همکاران [۲۴] نیز به صورت:

$$h_{tp} = Nu \frac{k_l}{D_i} \quad (25)$$

$$Nu = 0.00061(F + S)Re_l Fa^{0.11} Pr_l^{0.4} / \ln U \quad (26)$$

$$Fa = \frac{(\rho_l - \rho_v)\sigma}{G^2 D_i} \quad (27)$$

$$S = 142.5 Bo^{0.9} M^{0.55} \left( \frac{\rho_l}{\rho_v} \right)^{0.33} \quad (28)$$

$$S = \frac{1}{1 + 2.53 \times 10^{-6} Re_{tp}^{1.17}} \quad (21)$$

$$Re_{tp} = Re_l F^{1.25} \quad (22)$$

$$F = \begin{cases} 1 & , \quad \frac{1}{X_u} \leq 0.1 \\ 2.35 \left[ \frac{1}{X_u} + 0.213 \right]^{0.736} & , \quad \frac{1}{X_u} > 0.1 \end{cases} \quad (23)$$

مؤلفه  $X_u$ ، به عنوان مؤلفه لاکهارت-مارتینلی<sup>۲</sup> شناخته شده و از رابطه زیر محاسبه می‌شود [۲۴]:

$$X_u = \left( \frac{\rho_v}{\rho_l} \right)^{0.5} \left( \frac{\mu_l}{\mu_v} \right)^{0.1} \left( \frac{1-x}{x} \right)^{0.9} \quad (24)$$

1 Lockhart

2 Martinelli

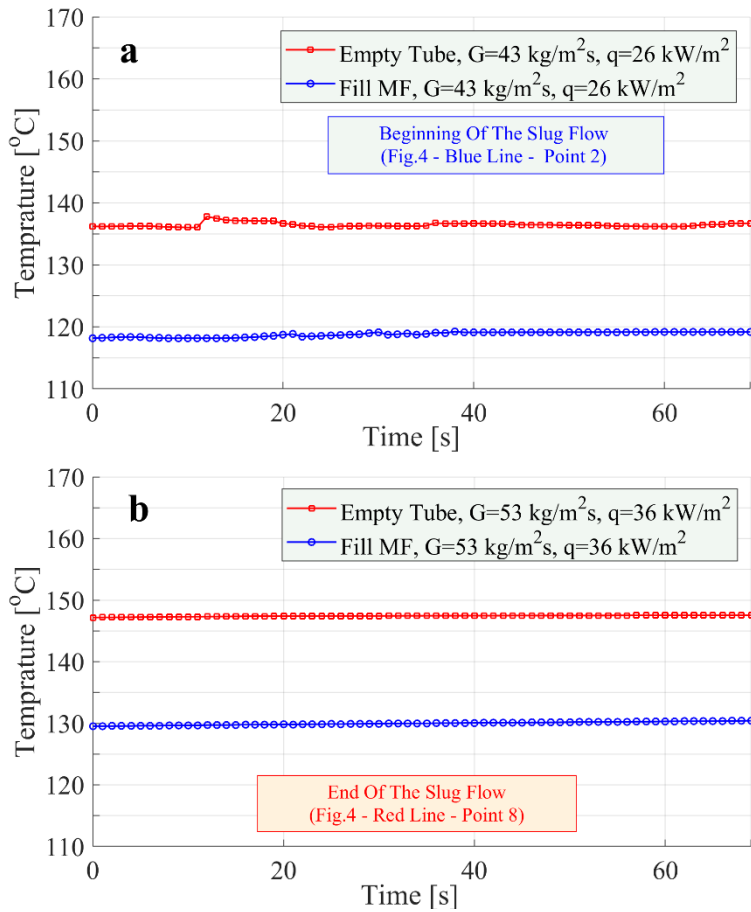


Fig. 6. Time traces of wall temperature for empty and metal foams tube, a) the beginning of the slug flow (point 2)-G=43 kg/m<sup>2</sup>.s-q=26 kW/m<sup>2</sup>, b) the end of the slug flow (point 8)-G=53 kg/m<sup>2</sup>.s-q=36 kW/m<sup>2</sup>

شکل ۶: دمای دیواره در طول زمان برای مبدل ساده و مبدل با فوم فلزی، الف: ابتدای جریان اسلامگ (نقطه ۲)-شار جرمی ۴۳ کیلوگرم بر مترمربع ثانیه و شار حرارتی ۲۶ کیلووات بر مترمربع، ب: انتهای جریان اسلامگ (نقطه ۸)-شار جرمی ۵۳ کیلوگرم بر مترمربع ثانیه و شار حرارتی ۳۶ کیلووات بر مترمربع

اسلامگ نشان داده شده است. با بررسی نتایج تجربی با روابط پیشنهادی فوق در حالت دوفازی و محاسبه انحراف مطلق متوسط از فرمول:

$$BO = \frac{q_E}{Gi_{\nu}} \quad (29)$$

$$MAD\% = \frac{1}{N} \sum \frac{|h_{pre} - h_{exp}|}{h_{exp}} \times 100 \quad (32)$$

$$F = x \left( \frac{1-x}{x} \right)^{0.9} \left( \frac{\rho_l}{\rho_v} \right)^{0.35} \quad (30)$$

میانگین انحراف مطلق داده‌های آزمایش از رابطه چن [۳۱] برای ابتدا و انتهای جریان به ترتیب  $14/6$  و  $33/2$  درصد و میانگین انحراف مطلق داده‌های آزمایش از رابطه فانگ و همکاران [۲۴] برای ابتدا و انتهای جریان به ترتیب  $60/8$  و  $65/8$  درصد به دست آمد، که برای سیال آب، در مراجع مختلف میانگین انحراف مطلق داده‌های آزمایش از روابط پیشنهادی تا بیش از مقدار  $100$  درصد نیز گزارش شده است. در این خصوص و درباره بررسی

$$U = 1.02 \left( \frac{\mu_{l,f}}{\mu_{l,w}} \right) \quad (31)$$

در معادله‌های فوق مؤلفه M جرم مولکولی آب است. در شکل‌های ۵-ج و ۵-د نسبت ضریب انتقال حرارت پیشنهادی از رابطه فانگ و همکاران [۲۴] به ضریب انتقال حرارت تجربی به ترتیب برای ابتدا و انتهای جریان

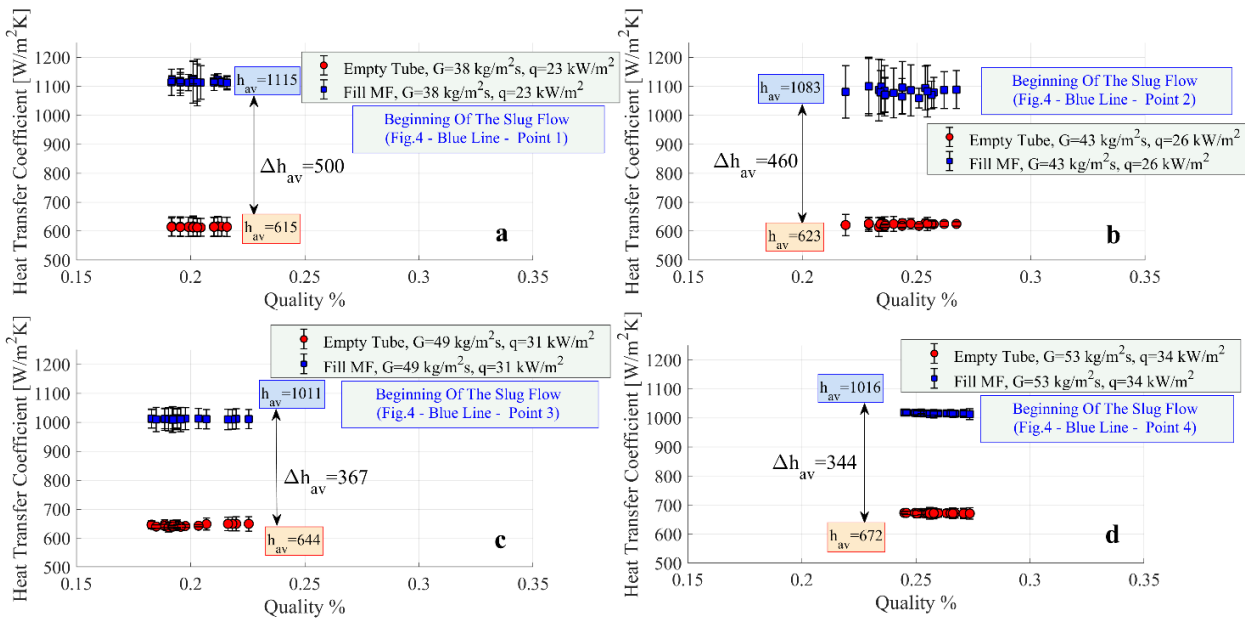


Fig. 7. Heat transfer coefficient for empty and metal foam tubes at the beginning of the slug flow, a)  $G=38 \text{ kg/m}^2\text{s}$ - $q=23 \text{ kW/m}^2$ , b)  $G=43 \text{ kg/m}^2\text{s}$ - $q=26 \text{ kW/m}^2$ , c)  $G=49 \text{ kg/m}^2\text{s}$ - $q=31 \text{ kW/m}^2$ , d)  $G=53 \text{ kg/m}^2\text{s}$ - $q=34 \text{ kW/m}^2$

شکل ۷: ضریب انتقال حرارت برای مبدل ساده و مبدل با فوم فلزی در ابتدای جریان اسلág، الف: شار جرمی ۳۸ کیلوگرم بر مترمربع ثانیه و شار حرارتی ۲۳ کیلووات بر مترمربع، ب: شار جرمی ۴۳ کیلوگرم بر مترمربع ثانیه و شار حرارتی ۲۶ کیلووات بر مترمربع، ج: شار جرمی ۴۹ کیلوگرم بر مترمربع ثانیه و شار حرارتی ۳۱ کیلووات بر مترمربع، د: شار جرمی ۵۳ کیلوگرم بر مترمربع ثانیه و شار حرارتی ۳۴ کیلووات بر مترمربع

لذا با توجه به عامل مقاومت تماسی-حرارتی<sup>۲</sup> در بحث اتصال‌ها پیش‌بینی می‌شود که بتوان از روش‌های اتصال مطلوب‌تری بهمنظور عملکرد بهتر هدایت حرارتی بهره برد [۲۵ و ۲۶].

#### ۶-۱- ضریب انتقال حرارت

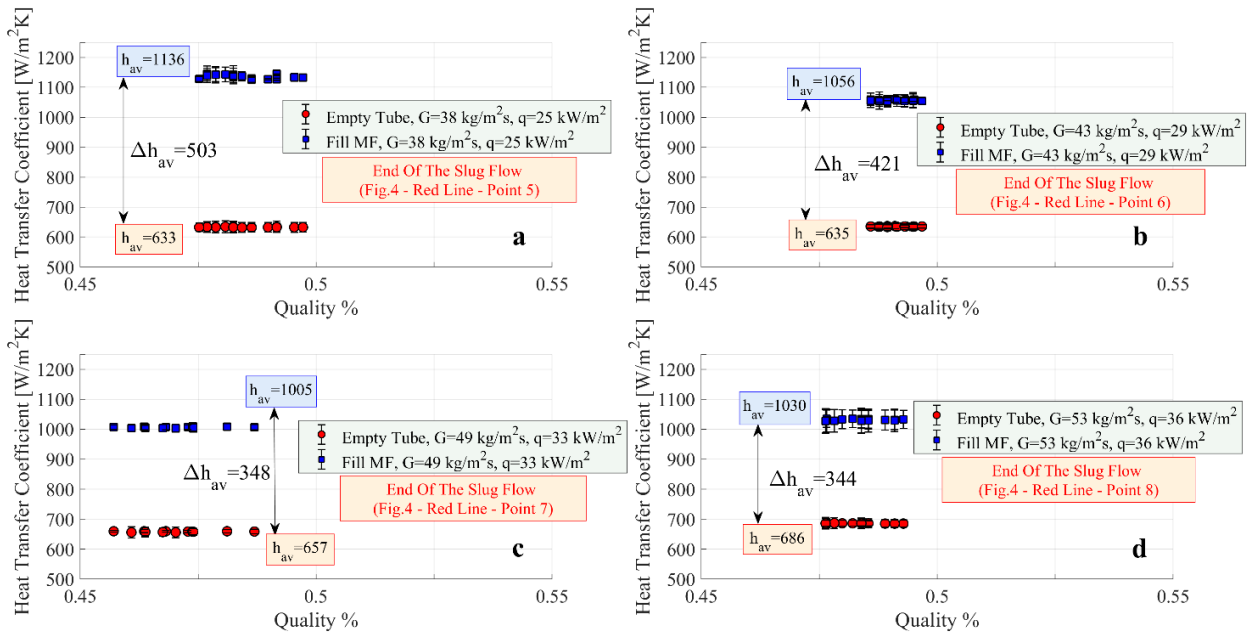
در شکل ۴ با در نظر گرفتن ابتدای ناحیه اسلág (خط آبی) و بهمنظور مقایسه داده‌های آزمایش (نقاط ۱ تا ۴) همان‌طور که در شکل ۷ نشان داده شده است، ضریب انتقال حرارت نسبت به کیفیت بخار برای دو مبدل لوله خالی، لوله با فوم مسی بررسی شده است. مطابق شکل ۷ ضریب انتقال حرارت برای لوله خالی با افزایش شار جرمی و شار حرارتی (حرکت از نقطه ۱ به نقطه ۴) به طور مطلق افزایش می‌یابد، این در حالیست که ضریب انتقال حرارت برای لوله با فوم مسی تقریباً روندی کاهشی دارد. همچنین اگر اختلاف ضریب انتقال حرارت مابین مبدل با فوم مسی و مبدل ساده را در نظر بگیریم، با افزایش شار حرارتی و شار جرمی (حرکت از نقطه ۱ به نقطه ۴) روندی کاهشی مشاهده می‌شود.

همچنین با در نظر گرفتن انتهای جریان اسلág (شکل ۴ - خط قرمز) و با مقایسه و بررسی ضریب انتقال حرارت بدست آمده از داده‌های آزمایش

انحراف‌ها، خوانندگان می‌توانند به مرجع [۲۴] مراجعه کنند.

#### ۶- نتایج و بحث

در این آزمایش موضوع انتقال حرارت در فوم‌های فلزی بررسی و الگوی جریان به‌واسطه یک لوله شیشه‌ای نسوز<sup>۱</sup> آشکارسازی شده است. با در نظر گرفتن طول لوله در قسمت پیش‌گرمن کم می‌توان از توسعه‌یافتگی هیدرودینامیکی جریان مطمئن گردید. همچنین بهمنظور بررسی و مقایسه بهبود عملکرد انتقال حرارت از دو مبدل به صورت لوله خالی، لوله با فوم مسی استفاده و شرایط آزمایش در هر دو ناحیه شروع و پایان جریان اسلág برای دو مبدل یکسان در نظر گرفته شد و مطابق شکل ۶ که به عنوان نمونه بیانگر دمای دیواره برای دو حالت متفاوت یکی در ابتداء و دیگری در انتهای ناحیه اسلág (نقاط ۲ و ۸ در شکل ۴) برای هر دو مبدل است، مشاهده شد که فوم فلزی باعث کاهش محسوس دمای دیواره شده و با توجه به شرایط شار حرارتی ثابت، شاهد افزایش ضریب انتقال حرارت در مبدل حاوی فوم فلزی نسبت به مبدل ساده هستیم که در بخش‌های مربوط به نتایج ضریب انتقال حرارت و ضریب بهبود مورد بررسی قرار خواهد گرفت. شایان ذکر است که فوم‌ها با روش جایگذاری فشاری درون لوله مسی بخش آزمون قرار گرفته‌اند



**Fig. 8. Heat transfer coefficient for empty and metal foam tubes at the end of the slug flow, a)  $G=38 \text{ kg/m}^2\text{s}$ - $q=25 \text{ kW/m}^2$ , b)  $G=43 \text{ kg/m}^2\text{s}$ - $q=29 \text{ kW/m}^2$ , c)  $G=49 \text{ kg/m}^2\text{s}$ - $q=33 \text{ kW/m}^2$ , d)  $G=53 \text{ kg/m}^2\text{s}$ - $q=36 \text{ kW/m}^2$**

شکل ۸: ضریب انتقال حرارت برای مبدل ساده و مبدل با فوم فلزی در انتهای جریان اسلاگ، الف: شار جرمی ۳۸ کیلوگرم بر مترمربع ثانیه و شار حرارتی ۲۵ کیلووات بر مترمربع، ب: شار جرمی ۴۳ کیلوگرم بر مترمربع ثانیه و شار حرارتی ۲۹ کیلووات بر مترمربع ثانیه و شار حرارتی ۳۳ کیلووات بر مترمربع، ج: شار جرمی ۴۹ کیلوگرم بر مترمربع ثانیه و شار حرارتی ۳۶ کیلووات بر مترمربع، د: شار جرمی ۵۳ کیلوگرم بر مترمربع ثانیه و شار حرارتی ۳۶ کیلووات بر مترمربع

که در یک شار جرمی مشخص صرفاً افزایش شار حرارتی (افزایش کیفیت) ضریب بهبود اندکی کاهش پیدا می‌کند. به همین دلیل بالاترین مقدار ضریب بهبود برای فوم فلزی توپر مقداری بالاتر از  $1/8$  بوده که مربوط به ابتدای جریان اسلاگ و نقطه ۱ است و پایین‌ترین مقدار آن  $1/5$  بوده که مربوط به نقطه ۸ و انتهای جریان اسلاگ است.

### ۶-۳-آشکارسازی

در این آزمایش برای آشکارسازی از یک لوله شیشه‌ای نسوز استفاده شده است، به طوری که در حالت استفاده شده از فوم فلزی، درون لوله شیشه‌ای نیز فوم فلزی قرار داده شد. با توجه به اینکه در هر شار جرمی دو ناحیه ابتداء و انتهای محدوده جریان اسلاگ در نظر گرفته شده است، بنابراین برای شارهای مختلف الگوی جریان اسلاگ در ابتداء و انتهای ناحیه اسلاگ دارای شکل یکسان و مشابهی است. در شکل‌های ۱۰-الف و ۱۰-ب الگوی جریان اسلاگ در لوله خالی و در شکل‌های ۱۱-الف و ۱۱-ب الگوی جریان اسلاگ در لوله با فوم مسی به ترتیب در ابتداء و انتهای ناحیه اسلاگ و در شار جرمی ۴۳ کیلوگرم بر مترمربع ثانیه به صورت پیرابندهای پشت سر هم نشان داده شده است. در مبدل خالی شکل اسلاگ کاملاً واضح است اما در

(نقاط ۵ تا ۸) برای مبدل با فوم مسی و مبدل ساده مطابق شکل ۸-همانند حالات ابتدایی جریان اسلاگ- با افزایش شار حرارتی و شار جرمی (حرکت از نقطه ۵ به نقطه ۸)، افزایش ضریب انتقال حرارت در مبدل ساده مشاهده می‌شود. در مورد مبدل با فوم مسی، می‌توان گفت روند تغییر ضریب انتقال حرارت تقریباً کاهشی است. همچنین با افزایش شار حرارتی و شار جرمی حرکت از نقطه ۵ به نقطه ۸)، کاهش اختلاف ضریب انتقال حرارت بین مبدل با فوم مسی و مبدل ساده مشاهده می‌شود.

### ۶-۲-ضریب بهبود

شکل ۹ نشان‌دهنده ضریب بهبود فوم مسی بر حسب کیفیت برای دو حالات ابتداء و انتهای جریان اسلاگ است. در شکل ۹-الف ضریب بهبود فوم مسی بر حسب کیفیت برای ابتدای جریان اسلاگ نشان داده شده است. مطابق شکل ۹-الف با افزایش شار حرارتی و شار جرمی (حرکت از نقطه ۱ به نقطه ۴) ضریب بهبود کاهش می‌یابد. این رفتار کاهشی برای فوم فلزی در انتهای جریان اسلاگ (حرکت از نقطه ۵ به نقطه ۸) نیز مشاهده می‌شود (شکل ۹-ب).

با مقایسه داده‌های آزمایش در شکل‌های ۹-الف و ۹-ب نتیجه می‌شود

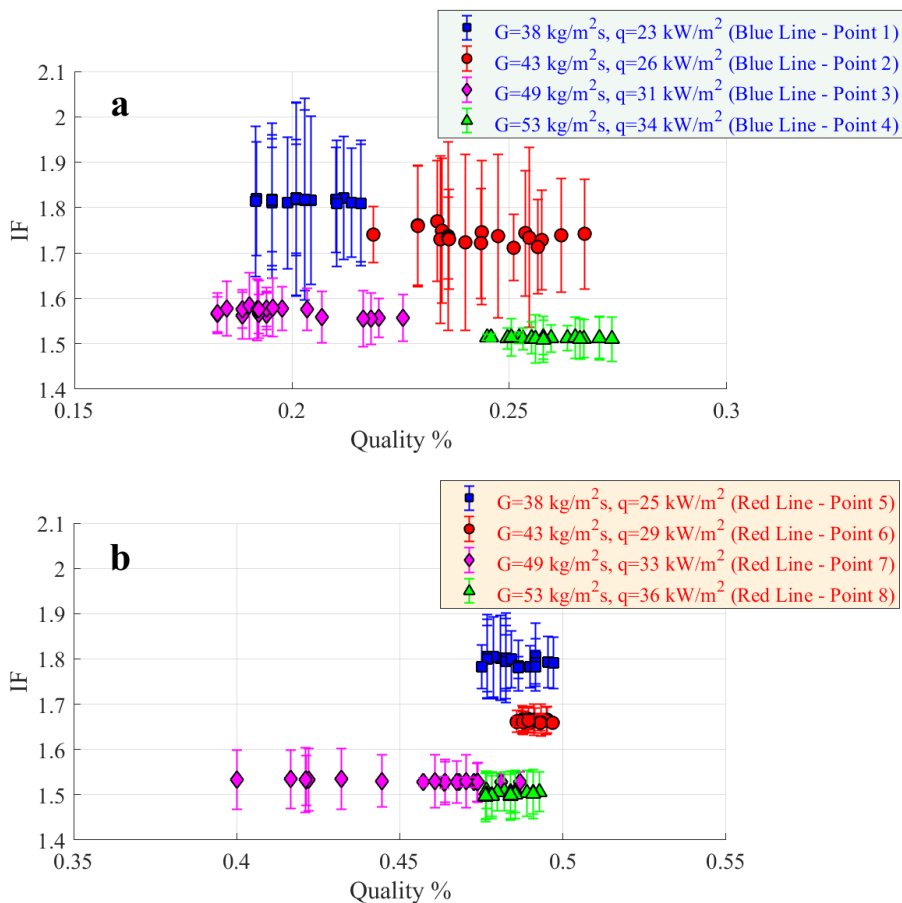


Fig. 9. Improvement factor (IF) for metal foam, a) the beginning of the slug flow, b) the end of the slug flow

شکل ۹: خریب بهبود فوم فلزی، الف: ابتدای جریان اسلامگ، ب: انتهای جریان اسلامگ

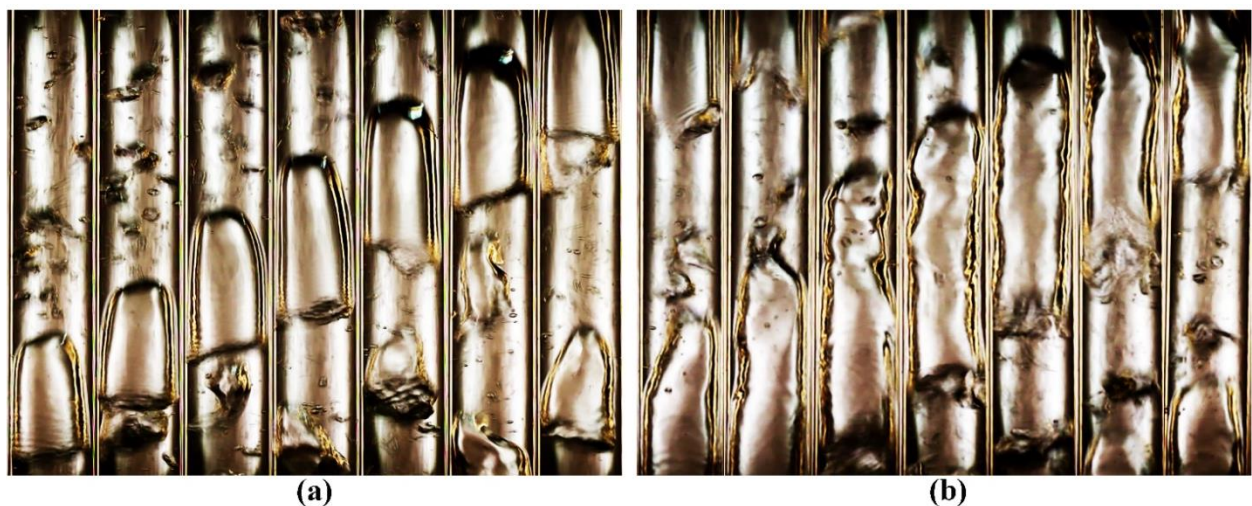


Fig. 10. Slug flow patterns of water in empty tube for  $G=43 \text{ kg/m}^2\text{s}$ , a) the beginning of the slug flow- $q=26 \text{ kW/m}^2$ , b) the end of the slug flow- $q=29 \text{ kW/m}^2$

شکل ۱۰: الگوی جریان اسلامگ آب در مبدل ساده برای شار جرمی ۴۳ کیلوگرم بر مترمربع ثانیه، الف: ابتدای جریان اسلامگ (شار حرارتی ۲۶ کیلووات بر مترمربع)، ب: انتهای جریان اسلامگ (شار حرارتی ۲۹ کیلووات بر مترمربع)

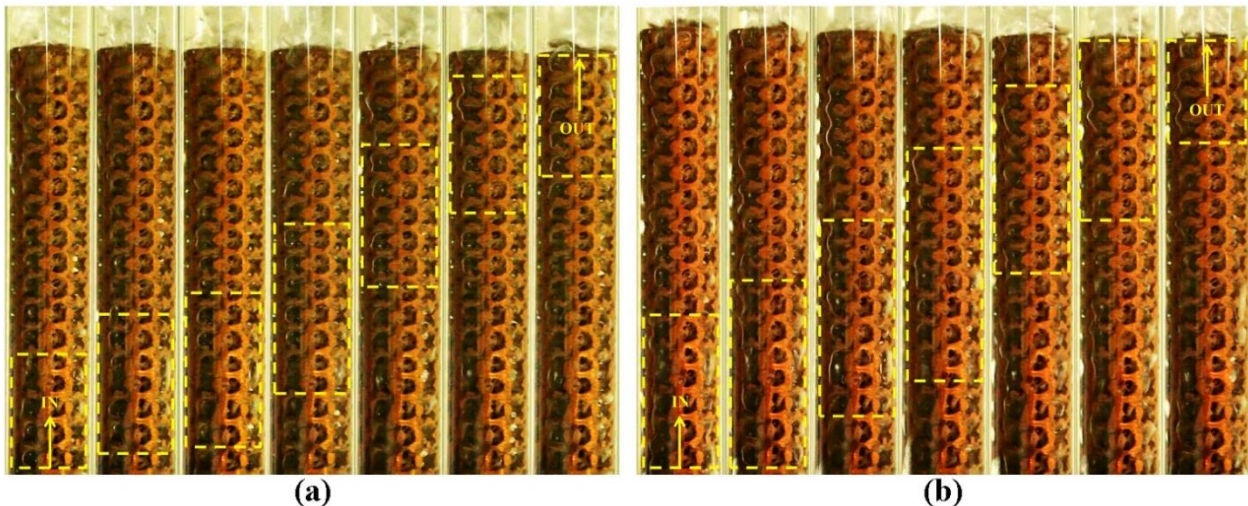


Fig. 11. Slug flow patterns of water in metal foam tube for  $G=43 \text{ kg/m}^2\text{s}$ , a) the beginning of the slug flow- $q=26 \text{ kW/m}^2$ , b) the end of the slug flow- $q=29 \text{ kW/m}^2$

شکل ۱۱-۴: شکل ۱۱. الگوی جریان اسلاگ آب در مبدل با فوم فلزی برای شار حرارتی ۴۳ کیلوگرم بر مترمربع ثانیه، الف: ابتدای جریان اسلاگ (شار حرارتی ۲۶ کیلووات بر مترمربع)، ب: انتهای جریان اسلاگ (شار حرارتی ۲۹ کیلووات بر مترمربع)

## ۷- نتیجه‌گیری و جمع‌بندی

در این آزمایش صحتسنجی جریان جوشش سیال آب، آشکارسازی و همچنین مقایسه انتقال حرارت جریان دوفازی بین مبدل ساده و مبدل با فوم فلزی انجام شد. به منظور بررسی صحتسنجی جریان جوششی از دو رابطه پیشنهادی استفاده و انحراف مطلق متوسط گزارش شد. در هر مرور، تفاوت در ویژگی انتقال حرارت بین مبدل ساده و مبدل با فوم مسی بررسی شد. مؤلفه‌ای با عنوان ضربی بهبود عملکرد فوم مورد استفاده قرار گرفت و بیان شد که ضربی انتقال حرارت در مبدل با فوم مسی در حدود ۱/۵ الی ۱/۸۲ برابر بهبود می‌یابد و این در حالی است که در تمامی موارد فوق ضربی بهبود با افزایش شار حرارتی و شار حرارتی کاهش پیدا می‌کند. همچنین بیان شد که با توجه به عامل مقاومت تماسی-حرارتی در بحث اتصال‌ها، بتوان از روش‌های اتصال مطلوب‌تری به منظور عملکرد بهتر هدایت حرارتی بهره برد. از نظر شکل جریان نیز می‌توان گفت حالت اسلاگ در هنگام استفاده از فوم فلزی همچنان باقی می‌ماند، هر چند تغییر کمی به دلیل ساختار فوم ایجاد شده و شکل اسلاگ هم، همانند شکل معروف گولوهای نیست.

مبدل با فوم مسی تشخیص الگوی جریان به دلیل ساختار فوم و درنتیجه به هم ریختگی جریان مشکل است؛ با توجه به این نکته که در طول انجام آزمایش - به دلیل وجود شرایط شار حرارتی ثابت - کیفیت بخار ثابت است، درنتیجه در این مطالعه با آشکارسازی مشخص شد که الگوی جریان اسلاگ در لوله با فوم مسی، قابل تشخیص و برقرار است. به عبارت دیگر، با حضور ماده متخلخل، الگوی کلی بخار به صورت اسلاگ در حرکت است هر چند که به دلیل وجود ماده متخلخل، این توده اسلاگ، دچار شکستگی و تغییر شکل شده است. آشکارسازی نشان می‌دهد که مجموعه بخارهای تجمع یافته در حفرات ماده متخلخل، خود به صورت تجمیعی به صورت یک اسلاگ حرکت می‌کنند. همچنین مشاهده الگوی اسلاگ در انتهای ناحیه اسلاگ به دلیل بزرگ‌تر بودن و نزدیک به هم بودن اسلاگ‌ها سخت‌تر می‌شود، اما بازهم با دقت می‌توان ناحیه اسلاگ را مشخص کرد. بنابراین می‌توان گفت با وجود استفاده از فوم فلزی در این آزمایش الگوی جریان همچنان اسلاگ باقی می‌ماند و فوم فلزی باعث مقدار کمی به هم ریختگی می‌شود که تعیین الگوی جریان را مشکل می‌کند.

## منابع

## ۸- فهرست علائم

- [1] L. Tadrist, M. Miscevic, O. Rahli, F. Topin, About the use of fibrous materials in compact heat exchangers, Experimental thermal and fluid science, 28(2-3) (2004) 193-199.
- [2] C. T'Joen, P. De Jaeger, H. Huisseune, S. Van Herzele, N. Vorst, M. De Paepe, Thermo-hydraulic study of a single row heat exchanger consisting of metal foam covered round tubes, International Journal of Heat and Mass Transfer, 53(15-16) (2010) 3262-3274.
- [3] M.F. Ashby, T. Evans, N.A. Fleck, J. Hutchinson, H. Wadley, L. Gibson, Metal foams: a design guide, Elsevier, 2000.
- [4] K. Boomsma, D. Poulikakos, F. Zwick, Metal foams as compact high performance heat exchangers, Mechanics of materials, 35(12) (2003) 1161-1176.
- [5] W. Hsieh, J. Wu, W. Shih, W. Chiu, Experimental investigation of heat-transfer characteristics of aluminum-foam heat sinks, International Journal of Heat and Mass Transfer, 47(23) (2004) 5149-5157.
- [6] S. Kim, J. Paek, B. Kang, Flow and heat transfer correlations for porous fin in a plate-fin heat exchanger, Journal of heat transfer, 122(3) (2000) 572-578.
- [7] S. Mahjoob, K. Vafai, A synthesis of fluid and thermal transport models for metal foam heat exchangers, International Journal of Heat and Mass Transfer, 51(15-16) (2008) 3701-3711.
- [8] W. Lu, C. Zhao, S. Tassou, Thermal analysis on metal-foam filled heat exchangers. Part I: Metal-foam filled pipes, International journal of heat and mass transfer, 49(15-16) (2006) 2751-2761.
- [9] V. Calmidi, R. Mahajan, Forced convection in high porosity metal foams, Journal of heat transfer, 122(3)

### علائم انگلیسی

عدد جوشش	<i>Bo</i>
گرمای ویژه، $J/kg.K$	$c_p$
قطر، $m$	$D$
عدد فانگ	$Fa$
شار جرمی، $kg/m^2.s$	$G$
شتاب گرانش، $m/s^2$	$g$
ضریب انتقال حرارت، $W/m^2.K$	$h$
ضریب بهبود	$IF$
گرمای نهان تبخیر، $J/kg$	$i_{lv}$
هدایت حرارتی، $W/m.K$	$k$
وزن مولکولی، $g/mol$	$M$
انحراف مطلق متوسط	$MAD$
دبی جرمی، $kg/s$	$\dot{m}$
تعداد داده	$N$
عدد ناسلت	$Nu$
فشار، $Pa$	$p$
عدد پرانتل	$Pr$
توان، $W$	$Q$
شار حرارتی، $kW/m^2$	$q$
مقاومت، $\Omega$	$R$
عدد رینولدز	$Re$
دما، $K$	$T$
ولتاژ، $V$	$V$
کیفیت	$x$
مؤلفه مارتینی	$X_{tt}$
فاصله از ورودی بخش آزمون، $m$	$z$

### علائم یونانی

لزجت، $Pa.s$	$\mu$
چگالی، $kg/m^3$	$\rho$
کشش سطحی، $N/m$	$\sigma$

### زیرنویس

جوشش جابجایی	<i>cb</i>
قطر	<i>D</i>
الکتریکی	<i>E</i>
تجربی	<i>exp</i>
سیال	<i>f</i>
داخلی	<i>i</i>
ورودی	<i>in</i>
مایع	<i>l</i>
فوم فلزی	<i>MF</i>
جوشش هسته‌ای	<i>nb</i>
خارجی	<i>o</i>

- and Mass Transfer, 74 (2014) 77-87.
- [18] Y. Zhu, H. Hu, G. Ding, H. Peng, X. Huang, D. Zhuang, J. Yu, Influence of oil on nucleate pool boiling heat transfer of refrigerant on metal foam covers, international journal of refrigeration, 34(2) (2011) 509-517.
- [19] Y. Zhu, H. Hu, S. Sun, G. Ding, Flow boiling of refrigerant in horizontal metal-foam filled tubes: Part 1–two-phase flow pattern visualization, International Journal of Heat and Mass Transfer, 91 (2015) 446-453.
- [20] Y. Zhu, H. Hu, S. Sun, G. Ding, Flow boiling of refrigerant in horizontal metal-foam filled tubes: Part 2–A flow-pattern based prediction method for heat transfer, International Journal of Heat and Mass Transfer, 91 (2015) 502-511.
- [21] C. Zhao, W. Lu, S. Tassou, Flow boiling heat transfer in horizontal metal-foam tubes, Journal of Heat Transfer, 131(12) (2009) 121002.
- [22] B. Madani, L. Tadrist, F. Topin, Experimental analysis of upward flow boiling heat transfer in a channel provided with copper metallic foam, Applied thermal engineering, 52(2) (2013) 336-344.
- [23] G.B. Abadi, C. Moon, K.C. Kim, Flow boiling visualization and heat transfer in metal-foam-filled mini tubes–Part I: flow pattern map and experimental data, International Journal of Heat and Mass Transfer, 98 (2016) 857-867.
- [24] X. Fang, Z. Zhou, H. Wang, Heat transfer correlation for saturated flow boiling of water, Applied Thermal Engineering, 76 (2015) 147-156.
- [25] P. De Jaeger, C. T'Joen, H. Huisseune, B. Ameel, S. De Schampheleire, M. De Paepe, Assessing the influence of four bonding methods on the thermal contact resistance of open-cell aluminum foam, International journal of (2000) 557-565.
- [10] C. Zhao, W. Lu, S. Tassou, Thermal analysis on metal-foam filled heat exchangers. Part II: Tube heat exchangers, International Journal of Heat and Mass Transfer, 49(15-16) (2006) 2762-2770.
- [11] M. Nazari, M. Ashouri, M.H. Kayhani, A. Tamayol, Experimental study of convective heat transfer of a nanofluid through a pipe filled with metal foam, International Journal of Thermal Sciences, 88 (2015) 33-39.
- [12] M. Nazari, N.B. Baie, M. Ashouri, M. Shahmardan, A. Tamayol, Unsteady heat transfer from a reservoir fluid by employing metal foam tube, helically tube and straight tube: a comparative experimental study, Applied Thermal Engineering, 111 (2017) 39-48.
- [13] M. Nazari, M. Kayhani, R. Mohebbi, Heat transfer enhancement in a channel partially filled with a porous block: lattice Boltzmann method, International Journal of Modern Physics C, 24(09) (2013) 1350060.
- [14] S. Mancin, C. Zilio, L. Rossetto, A. Cavallini, Heat transfer performance of aluminum foams, Journal of heat transfer, 133(6) (2011) 060904.
- [15] S. Mancin, C. Zilio, A. Diani, L. Rossetto, Experimental air heat transfer and pressure drop through copper foams, Experimental thermal and fluid science, 36 (2012) 224-232.
- [16] A. Diani, S. Mancin, L. Doretti, L. Rossetto, Low-GWP refrigerants flow boiling heat transfer in a 5 PPI copper foam, International Journal of Multiphase Flow, 76 (2015) 111-121.
- [17] S. Mancin, A. Diani, L. Doretti, L. Rossetto, R134a and R1234ze (E) liquid and flow boiling heat transfer in a high porosity copper foam, International Journal of Heat

- tubes, AIChE Journal, 26(3) (1980) 345-354.
- [31] J.C. Chen, Correlation for boiling heat transfer to saturated fluids in convective flow, Industrial & engineering chemistry process design and development, 5(3) (1966) 322-329.
- [32] F. Dittus, L. Boelter, Publications on Engineering, vol. 2, University of California at Berkeley, Berkeley, CA, (1930) 443-461.
- [33] H. Forster, N. Zuber, Dynamics of vapor bubbles and boiling heat transfer, AIChE Journal, 1(4) (1955) 531-535.
- [34] R. Lockhart, Proposed correlation of data for isothermal two-phase, two-component flow in pipes, Chem. Eng. Prog., 45 (1949) 39-48.
- heat and mass transfer, 55(21-22) (2012) 6200-6210.
- [26] T. Fiedler, I. Belova, G. Murch, Critical analysis of the experimental determination of the thermal resistance of metal foams, International journal of heat and mass transfer, 55(15-16) (2012) 4415-4420.
- [27] R.J. Moffat, Using uncertainty analysis in the planning of an experiment, Journal of Fluids Engineering, 107(2) (1985) 173-178.
- [28] W.M. Kays, Convective heat and mass transfer, Tata McGraw-Hill Education, 2012.
- [29] S. Levy, Two-phase flow in complex systems, John Wiley & Sons, 1999.
- [30] Y. Taitel, D. Bornea, A. Dukler, Modelling flow pattern transitions for steady upward gas-liquid flow in vertical